

浙江强基联盟 2023 学年第一学期高三年级 10 月联考

地理学科试题

命题人：绍兴鲁迅中学 章颖 审题人：鄞州高级中学 茅怡斐

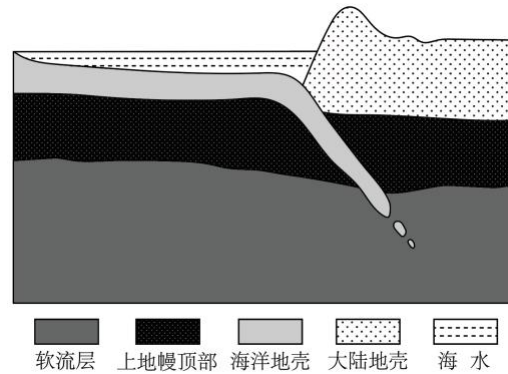
考生须知：

1. 本试题卷分选择题和非选择题两部分，考试时间 90 分钟。
2. 答题前，在答题卷指定区域填写班级、姓名、考场号、座位号及准考证号。
3. 所有答案必须写在答题卷上，写在试卷上无效。
4. 考试结束后，只需上交答题卷。

选择题部分

一、选择题 I（本大题 20 小题。每小题 2 分，共 40 分。在每个小题给出的四个选项中，只有一项是符合题目要求的，不选、多选、错选均不得分）

下图为沿 23.5° 纬线的世界某区域板块边界示意图。完成 1、2 题。



第 1、2 题图

1. 该类板块边界最有可能存在于
 - A. 亚欧大陆东海岸
 - B. 非洲大陆东海岸
 - C. 亚欧大陆西海岸
 - D. 美洲大陆西海岸
2. 该板块边界所在沿海地区，其对应气候条件下的典型建筑特色，最可能为
 - A. 粉墙黛瓦
 - B. 吊脚高楼
 - C. 厚墙小窗
 - D. 尖顶飞檐

云南景洪曾是一座原始雨林环绕的小城，如今 60% 以上的山地雨林被开发为枝繁叶茂的橡胶林，林下几乎没有其他植物可生长。近年来，该地区实施橡胶林生态保护修复工程。完成 3、4 题。

3. 关于该地区的典型自然植被，描述正确的是
 - A. 老茎生花
 - B. 夏绿冬枯
 - C. 蕨类参天
 - D. 革质硬叶
4. 目前，景洪市实施橡胶林区生态修复，最合理的措施是
 - A. 改良橡胶品种
 - B. 引进外来优势树种
 - C. 套种喜阴作物
 - D. 扩大橡胶种植规模

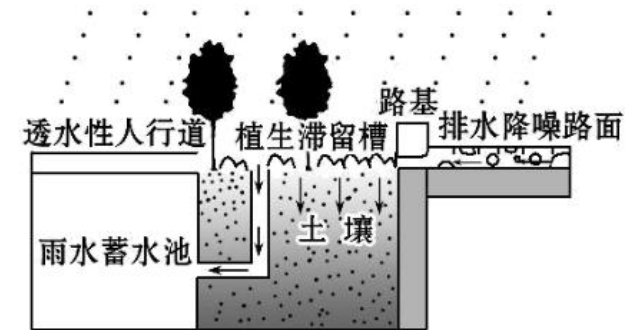
新疆“大海道”是我国唯一可合法穿越的无人区。下图为该地雅丹地貌景观图。完成 5、6 题。



第 5、6 题图

5. 形成该地貌景观的主要物质组成及外力作用为
 - A. 石英岩 流水侵蚀
 - B. 砂砾岩 风力侵蚀
 - C. 石灰岩 流水沉积
 - D. 花岗岩 物理风化
6. 若要安全自驾穿越该无人区，游客需携带的必备物品有
 - ①数码相机
 - ②高反药品
 - ③卫星电话
 - ④离线地图
 - A. ①②
 - B. ②③
 - C. ③④
 - D. ①④

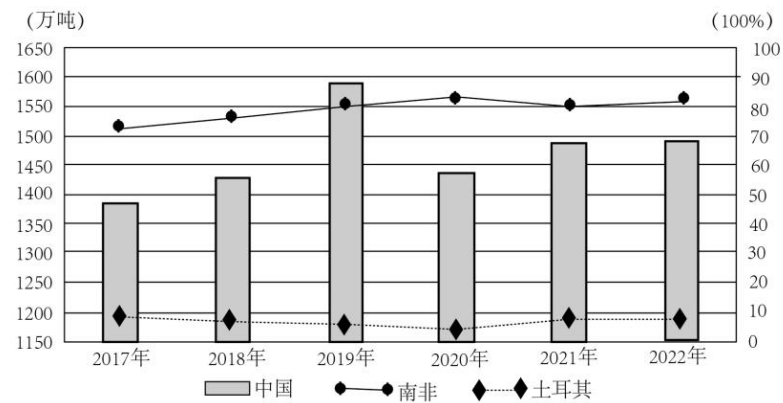
植生滞留槽，又称“雨水花园”，主要机制包含物理性下渗、吸附阻拦作用和滞留槽中生物性的反应。下图为我国北方某城市硬化路面改造后的植生滞留槽示意图。完成 7、8 题。



第 7、8 题图

7. “植生滞留槽”建设前，该区域
 - A. 地表蒸发量较多
 - B. 大气降水量较多
 - C. 气温日较差较小
 - D. 土壤含水量较小
8. 关于“植生滞留槽”建设对城市环境的影响，下列描述正确的是
 - A. 增加土壤吸附量，避免土壤污染
 - B. 增加生物滞水量，根治城市内涝
 - C. 增加下渗量，缓解城市地面沉降速度
 - D. 增加水域面，调节水资源的空间差异

铬矿为我国的战略性矿产资源，消费量大，但储量少且品位低，依赖国际进口。津巴布韦铬矿储量居世界第二位，但该国政府于2021年宣布禁止铬矿砂出口。下图为2017—2022年中国铬矿（铬矿砂和铬精矿）进口总量及铬精矿从南非和土耳其的进口比重统计图。完成9、10题。



第9、10题图

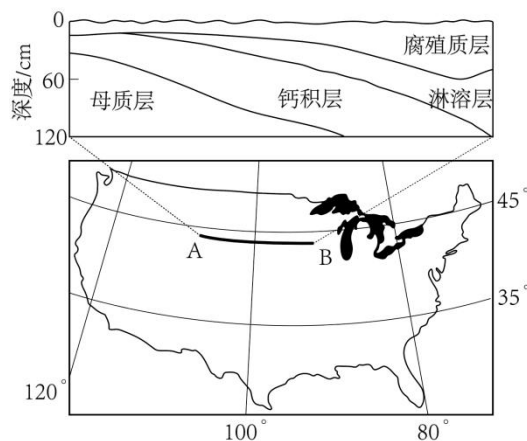
9. 关于我国铬矿资源的描述，正确的是

- A. 2017年，我国从南非进口的铬精矿约为一千万吨
- B. 2019年，我国铬矿资源对外依存度达历年最低值
- C. 2017—2020年，我国铬矿砂产量呈波状变化趋势
- D. 2017—2020年，我国从南非和土耳其进口的铬精矿此消彼长

10. 津巴布韦禁止铬矿砂出口，可

- ①优化产业结构
 - ②提高铬储量
 - ③避免资源枯竭
 - ④提高附加值
- A. ①② B. ②③ C. ③④ D. ①④

钙积层是土壤中含钙碳酸盐发生位置变动并累积后形成的土层，其有机质及养分含量低，影响作物根系生长和养分吸收。下图为美国中部地区沿AB一线的土壤剖面示意图。完成11、12题。



第11、12题图

11. 影响AB沿线钙积层厚度变化的主导因素是

- A. 热量
- B. 水分
- C. 生物
- D. 时间

12. 美国中部AB沿线钙积层分布呈现

- A. 由沿海向内陆带状分异
- B. 垂直分异规律
- C. 由低纬向高纬带状分异
- D. 地方性分异规律

越南沿海的巴达棱湾风向季节变化明显。图1为巴达棱湾的温盐站及富贵岛的位置示意图，图2为某年两地观测站5—12月的水温变化图。完成13、14题。

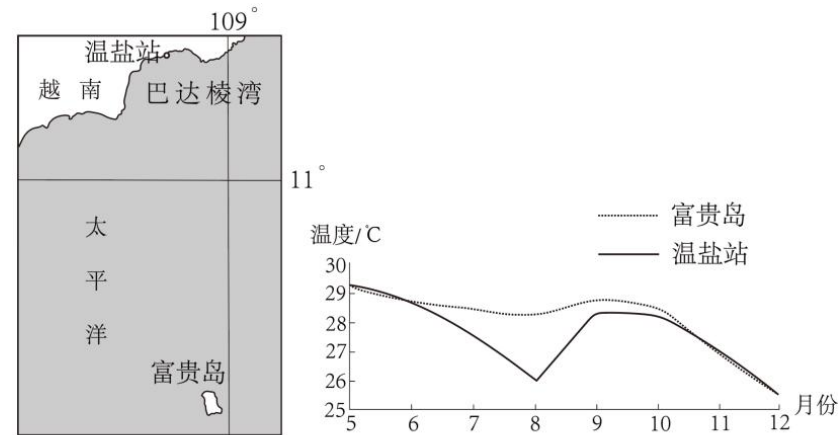


图1

图2

第13、14题图

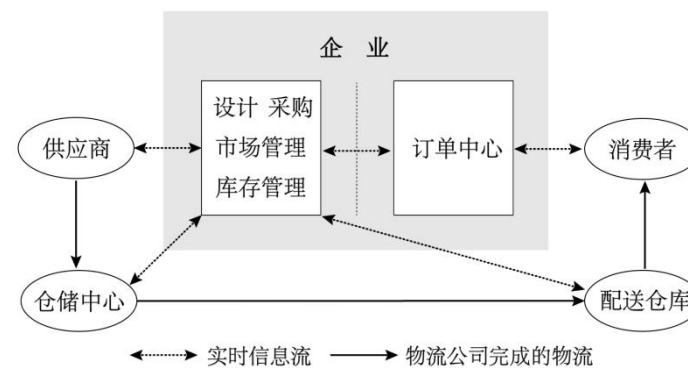
13. 与富贵岛附近海域相比，巴达棱湾8月

- A. 海水温度较高
- B. 海水密度较低
- C. 海水盐度较高
- D. 海雾频次较低

14. 若站员在当地正午时刻获取水温数据，则此时全球新、旧日期的范围之比约

- A. 5:19
- B. 19:5
- C. 7:17
- D. 17:7

在互联网技术的助力下，电商经济快速发展。现代物流作为电商运营的重要环节，地理信息技术为增强其信息化水平提供有力支撑。下图为企业、供应商、消费者与物流公司的关系示意图。完成15、16题。



第15、16题图

15. 促使现代物流快速发展的主导因素是

- A. 基础设施
- B. 服务需求
- C. 配送人员
- D. 资源分布

16. 现代物流信息化水平提升，主要得益于

- A. 遥感技术为企业各地供应商各类成交信息与地理位置
- B. 遥感技术为供应商及仓储中心选择合适路线配送至消费者
- C. 北斗卫星导航系统为消费者按标准分类有序归整仓储物品
- D. 地理信息系统为企业仓储中心选址及资源分配的服务

2013年，我国首个“太阳能光热海水淡化示范工程”在海南岛某沿海城市建成投产。传统海水淡化主要利用化石能源，能源成本约占生产成本的50%。该工程通过发电-储能-海水淡化多系统协同运行，有助于改良该类地区的盐碱地，目前已在多地推广。完成17、18题。

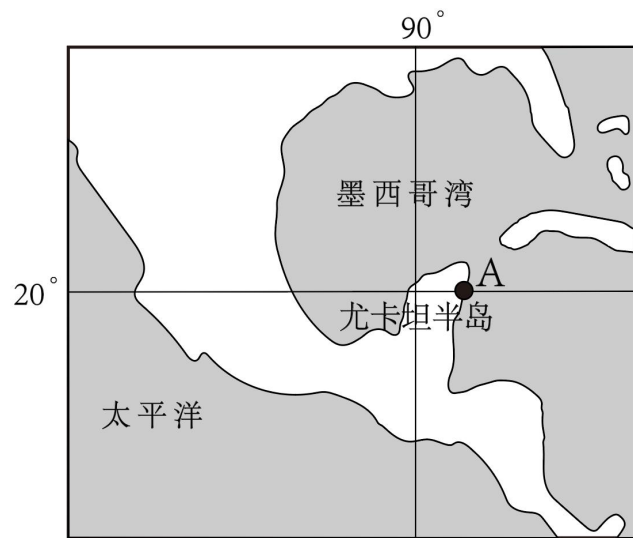
17. 与化石能源相比，太阳能发电

- A. 能源总量更低
- B. 连续供应效益更好
- C. 地域限制更大
- D. 占用土地面积更多

18. 该示范工程对资源与环境安全有重要意义，体现在

- A. 增加沿海地区可用耕地
- B. 解决海南岛淡水资源短缺
- C. 显著缓解全球变暖趋势
- D. 调整我国的能源消费结构

尤卡坦半岛的海陆风受信风影响明显。夏季，西海岸海风登陆时，遇到陆地上稳定的信风，则徘徊不前，形成海风锋。一般情况下，温度相同时，湿空气比干空气密度小。下图为尤卡坦半岛位置示意图。完成19、20题。

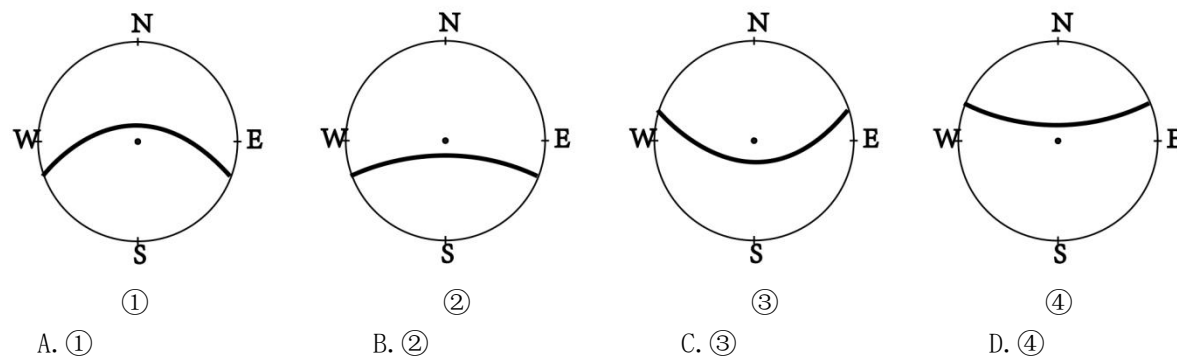


第19、20题图

19. 下列关于尤卡坦半岛西海岸海风锋的剖面示意图，正确的是



20. 夏至日，A地杆影顶端投影在地平面的方位变化轨迹，最接近的是



二、选择题II (本大题5小题，每小题3分，共15分。在每个小题给出的四个选项中，只有一项是符合题目要求的，不选、多选、错选均不得分)

随着设施渔业发展，海鲜养殖正向内陆地区发展。甘肃某养殖合作社利用循环水模拟海水养殖环境，控制水温和含盐量，工厂化养殖南美白对虾，每年产量达12万斤。完成第21题。

21. “海鲜陆养”快速发展得益于

- A. 土地资源充足
- B. 市场需求旺盛
- C. 生产技术提高
- D. 养殖风险降低

2000年，河南省步入老龄化社会。不断加深的人口老龄化对其经济社会发展带来一系列挑战和新机遇。下表为2010年、2020年河南省和全国部分人口统计表。完成22、23题。

地区	指标	2010年	2020年
河南省	常住人口(万人)	9402	9937
	65岁及以上常住人口(万人)	786	1340
	65岁及以上人口比重(%)	8.4	13.5
全国	65岁及以上人口比重(%)	8.9	13.5

第22、23题表

22. 2010年—2020年，河南省老龄化进程较全国___，主要影响因素是

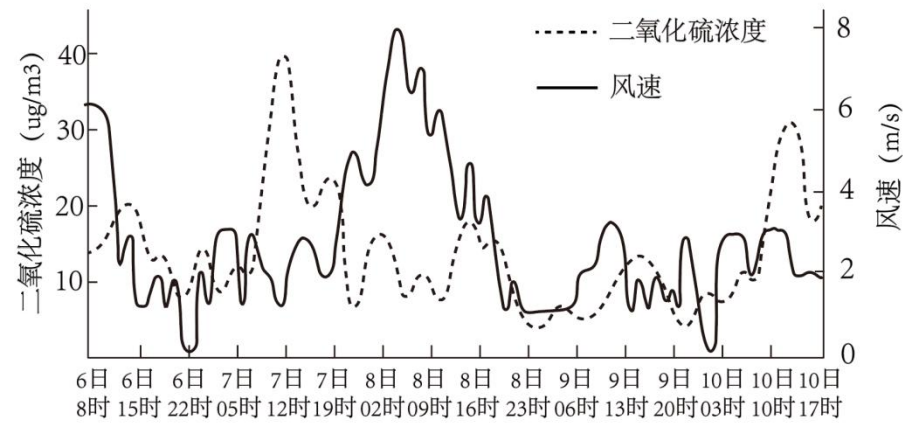
- A. 快 生产力水平
- B. 快 交通方式
- C. 慢 环境承载力
- D. 慢 社会保障

23. 河南省将人口老龄化带来的挑战转为发展新机遇，可行的措施有

- ① 加快产业转型升级
- ② 完善公共服务体系
- ③ 加大政府政策补贴
- ④ 大力扶持银发产业

- A. ①②
- B. ②③
- C. ③④
- D. ①④

研究表明，冷锋过境前污染物浓度会出现短暂升高的现象。下图为2月某次冷锋过境前后，兰州市大气污染物二氧化硫浓度与风速的变化图。完成24、25题。



第24、25题图

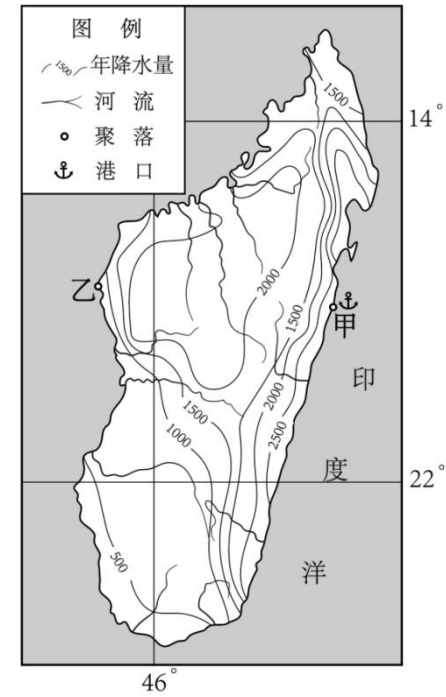
24. 下列时间，兰州正处于冷锋过境的是
- A. 6日8:00 B. 7日12:00
- C. 8日02:00 D. 9日06:00
25. 7日17:00-21:00，兰州市二氧化硫浓度偏高的主要原因是
- A. 大气结构不稳定 B. 夜间燃煤取暖多
- C. 工业废气排放大 D. 交通拥堵程度高

非选择题部分

三、非选择题（本大题共3小题，共45分）

26. 阅读材料，完成下列问题。（12分）

材料一 马达加斯加是位于印度洋西部的非洲岛国，易受热带气旋侵袭。该国以发展传统农业为主，可直接开发耕地面积达8万km²，但粮食自给率低。下图为马达加斯加部分地理事物分布图。



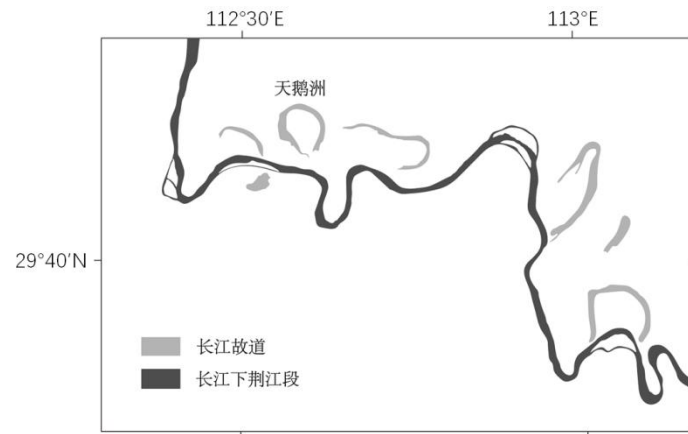
第26题图

材料二 甘蔗为该国的主要经济作物，当地积极推进以甘蔗为原料的乙醇加工产业。马达加斯加将建设多家乙醇厂，一般每家乙醇厂种植45km²的甘蔗，所产乙醇汽油80%出口美国，首座乙醇厂在甲地建成投产。目前，马达加斯加90%的家庭以薪柴为主要生活燃料。

- 说出热带气旋形成过程中海气之间水热交换的主要表现。（2分）
- 甲、乙两地的甘蔗品质更好的是_____，说明其主要自然原因。（4分）
- 评价马达加斯加积极推广以甘蔗为原料的乙醇产业的影响。（6分）

27. 阅读材料，完成下列问题。(13分)

材料一 长江出三峡后，流速放缓，在荆江河段形成“九曲回肠”的独特河流地貌，该区域洪涝灾害多发。地处湖北省境内的天鹅洲，是长江中游故道群中的一个湖泊。图1为长江中游故道群湿地分布图。



第27题图1

材料二 天鹅洲故道区域拥有两个国家自然保护区，为珍稀濒危物种提供生态用水及栖息地环境，常现“豚游湖底，鹿驰洲滩”的景象。人类、江豚和麋鹿因水资源、食物资源和栖息地等一直存在矛盾。图2为天鹅洲故道区域的地理事物分布图。

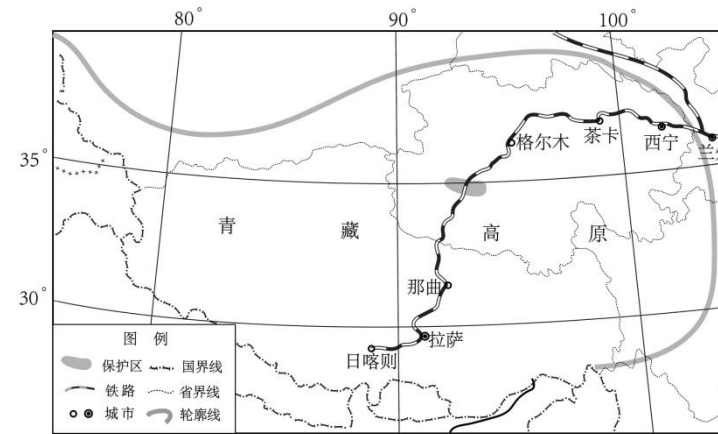


第27题图2

- 描述天鹅洲的形成过程。(4分)
- 指出荆江河段洪涝灾害多发的主要自然原因。(3分)
- 从整体性角度，说明降水异常偏少对该地区人类、江豚和麋鹿的影响。(6分)

28. 阅读材料，完成下列问题。(20分)

材料一 在西部大开发的推动下，青藏高原的城市经历了快速的扩展过程。研究发现，青藏铁路高耸的路基对藏羚羊的季节性迁徙造成影响，区域社会经济的发展与脆弱的高原生态保护之间的矛盾日益突出。图1为青藏高原部分地理事物分布示意图，图2为青藏铁路沿线景观图。



第28题图1



第28题图2

材料二 冻融侵蚀是土体或岩隙中的水分反复冻结、融化而使其破碎、移动的现象。近几十年，青藏高原气候呈暖化趋势。下表为2013-2020年青藏高原部分自然要素对冻融侵蚀强度加剧的贡献率。

第28题表

	贡献率
土壤温度	40.55%
土壤含水量	49.59%
植被覆盖率	2.54%

- 海拔对青藏高原城市扩展的限制作用趋于_____ (填“增大”、“减小”)，由此指出其城市土地的扩展方向，并说明理由。(4分)
- 推测铁路建设对藏羚羊活动区空间形态的影响，请提出合理的改进措施。(4分)
- 从产业的角度，阐述铁路建设对青藏高原地区城市化发展的作用。(6分)
- 简析青藏高原气候暖化对其冻融侵蚀强度加剧的影响。(6分)